

01;07;12

©1994

## ИЗМЕРЕНИЕ ПАРАМЕТРОВ КУБИЧНО-НЕЛИНЕЙНЫХ ВОЛНОВОДОВ

*А.Б.Сотский, А.В.Хомченко, Л.И.Сотская*

В работе [1] показано, что обработка распределения интенсивности пучка, отраженного от призмного устройства связи, позволяет с высокой точностью определять параметры линейных оптических волноводов. В настоящем сообщении представлено обобщение соответствующего подхода на случай кубично-нелинейных волноводов.

Ограничимся рассмотрением волн ТЕ поляризации с зависимостью от времени  $\exp(i\omega t)$ , имеющих  $x$ -составляющую вектора электрического поля  $\psi$  (рис. 1). Допустим, что возбуждающий пучок на основании призмы имеет распределение  $\psi = A\psi_0(xw_x^{-1}, zw^{-1} \sin \alpha) \exp(-i\beta_0 z)$ , где  $A$  — амплитуда,  $\alpha$  — угол между осью пучка и основанием призмы,  $w_x, w$  — масштабные факторы,  $\beta_0$  — составляющая волнового вектора пучка, и что волновод с нелинейностью типа самовоздействия расположен в области  $y < -g$  (рис. 1). Решая уравнение

$$\nabla_x^2 \psi + \nabla_y^2 \psi + \nabla_z^2 \psi + k_0^2 [\varepsilon(y) + \Delta \varepsilon_n (|\psi|^2)] \psi = 0 \quad (1)$$

с использованием преобразований Фурье, находим

$$b(k_x, \beta) = \frac{Aw_x w (k_y + ik_{yg})}{(2\pi)^2 (k_y - ik_{yg}) \sin \alpha} \int_{-\infty}^{\infty} d\xi \int_{-\infty}^{\infty} d\zeta \exp(ik_x w_x \xi + i\kappa \zeta) \times \\ \times \left( \psi_0 - \frac{2p_2}{p_1} \varphi \right), \quad (2)$$

$$\frac{1}{p_1} \frac{d\varphi}{d\zeta} = \psi_0 - \varphi \left[ i \left( \frac{p_4}{p_1} + \frac{k_0^2 \int_{-\infty}^{-g} Y^2 \Delta \varepsilon_n (|\psi|^2) dy}{2 \operatorname{Re} h \operatorname{Im} h_1 \int_{-\infty}^{\infty} Y^2 dy} \right) - 1 \right]. \quad (3)$$

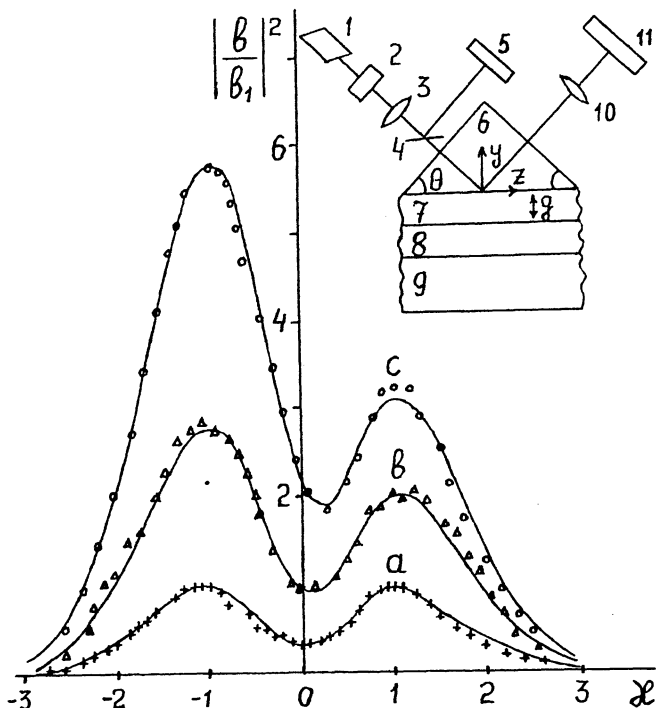


Рис. 1. Распределения  $|b(x)|^2$ , полученные при  $S = S_0$  (a),  $S = 2.25S_0$  (b),  $S = 4.61S_0$  (c) ( $|b_1|^2$  — максимум функции  $|b(x)|^2$  при  $S = S_0$ ) и оптическая схема эксперимента.

1 — лазер, 2 — аттенюатор, 3, 10 — линзы, 4 — полупрозрачное зеркало, 5 — фотоприемник, 6 — призма, 7 — буферный слой, 8 — волновод, 9 — подложка, 10 — линейка фотоприемников.

В выражениях (1)–(3)  $k_0$  — волновое число вакуума,  $\varepsilon(y)$  — диэлектрическая проницаемость среды при отсутствии эффектов самовоздействия,  $\Delta\varepsilon_n(|\psi|^2)$  — ее нелинейное приращение,  $b(k_x, \beta)$  — фурье-образ отраженного пучка,  $k_x, \beta$  — составляющие волнового вектора плоской волны,  $k_y = \sqrt{k_0^2 \varepsilon_p - (\text{Re } h)^2}$ ,  $k_{yg} = \sqrt{(\text{Re } h)^2 - k_0^2 \varepsilon_g}$ ,  $\varepsilon_p$  и  $\varepsilon_g$  — проницаемости призмы и буферного слоя,  $h_1$  и  $h$  — постоянные распространения возбуждаемой моды при  $\Delta\varepsilon_n = 0$  в присутствии и отсутствии призмы,  $p_1 = \text{Im } h_1 w (\sin \alpha)^{-1}$ ,  $p_2 = 2k_y k_{yg} |\Delta h| w [(k_y^2 + k_{yg}^2) \sin \alpha]^{-1}$ ,  $\kappa = (\beta - \beta_0) w (\sin \alpha)^{-1}$ ,  $\Delta h = h_1 - h$ ,  $p_4 = (\text{Re } h_1 - \beta_0) w (\sin \alpha)^{-1}$ ,  $\xi = x w_x^{-1}$ ,  $\zeta = z \sin \alpha w^{-1}$ . При получении выражений (2), (3) использованы приближение разделения переменных, согласно которому при  $y \leq -g$ ,  $\psi = B(x, z)Y(y)$ , где  $Y(y)$  — поле моды линейного волновода [2,3], приближение для линейного ко-

эффицента отражения [1] и обозначение

$$B = \frac{2ik_y k_{yg} A \exp(-k_{yg}g - i\beta_0 z)\varphi}{(ik_{yg} - k_y) \operatorname{Re} h' \operatorname{Im} h_1 \int_{-\infty}^{\infty} Y^2 dy}. \quad (4)$$

При  $S \rightarrow 0$ , где  $S$  — мощность возбуждающего пучка, из (2)–(4) получаем аналитическое приближение

$$b = \frac{A w_x w (k_y + ik_{yg})}{(2\pi)^2 (k_y - ik_{yg}) \sin \alpha} \int_{-\infty}^{\infty} d\xi \int_{-\infty}^{\infty} d\zeta \exp(ik_x w_x \xi + i\kappa \zeta) \times \\ \times \left\{ \left( 1 - \frac{2ip_2}{\kappa - p_4 - ip_1} \right) \psi_0 - \frac{k_0^2 p_2 w \varphi \int_{-\infty}^{-g} Y^2 \Delta \varepsilon_n (|\psi|^2) dy}{p_1 \sin \alpha \operatorname{Re} h(\kappa - p_4 - ip_1) \int_{-\infty}^{\infty} Y^2 dy} \right\}, \quad (5)$$

$$\varphi = p_1 \exp[(p_1 - ip_4)\zeta] \int_{-\infty}^{\zeta} \psi_0(\xi, \zeta') \exp((ip_4 - p_1)\zeta') d\zeta'. \quad (6)$$

Рассмотрим вопросы измерения параметров нелинейности. Допустим, что кубично-нелинейный волновод с  $\Delta \varepsilon_n(|\psi|^2) = \varepsilon_1(y)|\psi|^2$  возбуждается круговым гауссовым пучком с  $\psi_0(\xi, \zeta) = \exp(-\xi^2 - \zeta^2)$ , имеющим наименьший поперечный размер  $2w_0$ . Распределение  $|b(0, \beta)|^2$  регистрируется линейкой фотоприемников 11, расположенной в фокальной плоскости линзы 10 (рис. 1).

Для определения параметров  $p_1, p_2$ , характеризующих связь призмы с волноводом, предположим, что мощность  $S$  мала настолько, что величиной  $\Delta \varepsilon_n(|\psi|^2)$  в (5) можно пренебречь. В этом случае имеем

$$p_1 = -\sqrt{G}, \quad p_2 = 0.5 (\sqrt{G} - \sqrt{D}),$$

$$D = \eta \kappa_m^4 [2(1 - \eta) - \eta \kappa_m^2]^{-1}, \quad G = \kappa_m^4 [2(1 - \eta) - \kappa_m^2]^{-1}, \quad (7)$$

где  $\eta = |b(0)/b(\kappa_m)|^2 \exp(-\kappa_m^2/2)$ ,  $\kappa_m$  — координата максимума функции  $|b(\kappa)|^2$  [1]. При увеличении  $S$  из (5) находим

$$\frac{\partial \kappa_1}{\partial (SS_0^{-1})} = \frac{[I_1 - (2p_2 + p_1)I_2] p_1^2 p_2^2 \operatorname{Re}(p_3^{(0)})}{8p_2(p_1 + p_2) + p_1^2(2p_2 + p_1)^2}, \quad (8)$$

$$\left| \frac{b(\kappa_1)}{b(\kappa_1^{(0)})} \right|^2 = \frac{CS}{S_0} + \frac{(1-C)S^2}{S_0^2}, \quad C = \frac{1}{2p_2 + p_1 + I_1 p_3^2 \operatorname{Im}[p_3^{(0)}]}, \quad (9)$$

$$p_3 = \frac{16\sqrt{\varepsilon_a \varepsilon_p} S \omega \mu_0 k_0^2 \int_{-\infty}^{-g} \varepsilon_1 |Y|^2 Y^2 dy}{[w_0 \sqrt{\varepsilon_a} w^{-1} + \sqrt{\varepsilon_p}]^2 \pi (\operatorname{Re} h)^2 \sin \alpha \left| \int_{-\infty}^{\infty} Y^2 dy \right| \int_{-\infty}^{\infty} Y^2 dy}, \quad (10)$$

$$I_1 = \int_{-\infty}^{\infty} J d\zeta, \quad I_2 = \int_{-\infty}^{\infty} \zeta J d\zeta,$$

$$J = \frac{\pi}{2\sqrt{3}} \exp\left(\frac{3p_1^2}{4}\right) \left\{ \exp(p_1 \zeta) \left[ 1 + \operatorname{erf}\left(\zeta + \frac{p_1}{2}\right) \right] \right\}^3,$$

где  $\varepsilon_a$  — проницаемость воздуха,  $\mu_0$  — магнитная проницаемость вакуума,  $\kappa_1$  — координата минимума функции  $|b(\kappa)|^2$ ,  $S_0$  — некоторое значение мощности, которому соответствуют  $\kappa_1 = \kappa_1^{(0)}$  и  $p_3 = p_3^{(0)}$ . При получении выражений (8)–(10) учтено преломление и отражение пучка на боковых гранях призмы. Величины в левых частях равенств (8), (9) допускают экспериментальное определение, что открывает возможность измерения комплексного параметра нелинейности  $p_3$ .

Нами исследован волновод, состоящий из пленки  $\text{As}_2\text{S}_3$ , нанесенной методом термического испарения на стеклянную подложку с  $n = 1.4567$ . Источником излучения служил He-Ne лазер ( $\lambda_0 = 0.6328$  мкм). Волновод возбуждался пучком с  $w_0 = 49$  мкм, сфокусированным линзой 3 на основании призмы с  $\varepsilon_p = 3.06145$ ,  $\theta = 60.301^\circ$  (рис. 1). Мощность  $S$  варьировалась аттенюатором 2 и контролировалась фотоприемником 5. Распределения  $|b(\kappa)|^2$  регистрировались линейкой фотоприемников, соединенной с цифровым осциллографом.

Для определения параметров  $p_1$ ,  $p_2$  величина  $S$  была уменьшена до значения  $S_0 = 0.18$  мкВт и выполнено совмещение оси пучка с минимумом распределения  $|b(\kappa)|^2$ , при котором  $\kappa_1^{(0)} = 0$ . Соответствующее распределение  $|b(\kappa)|^2$  оказалось несколько асимметричным (рис. 1), что объясняется значительной нелинейностью волновода [1]. При этом значения  $\kappa_m^2$  и  $\eta$  были определены путем усреднения величин, относящихся к двум максимам. Для измеренных  $\kappa_m^2 = 1.09$ ,  $\eta = 0.193$  вычисления по формулам (7)

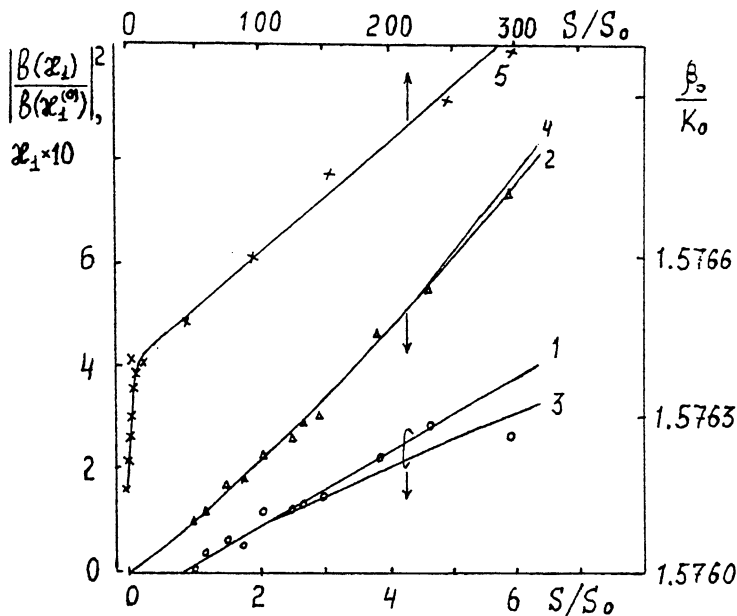


Рис. 2. Зависимости  $|b(x_1)/b(x_1^{(0)})|^2$  (кривая 1),  $x_1$  (2) и  $\beta_0$  (3) от  $S/S_0$ .

дали  $p_1 = 1.49$ ,  $p_2 = 0.546$ . Этим величинам соответствует  $\text{Im } hk_0^{-1} = -8.42 \cdot 10^{-4}$  [1]. Увеличивая  $S$ , мы получили данные для величин  $x_1$  и  $|b(x_1)/b(x_1^{(0)})|^2$ , представленные на рис. 2 дискретными точками. Линии 1 и 2 — аппроксимация этих данных полиномами первой и второй степени. Для величин  $\partial x_1 / \partial (SS_0^{-1}) = 0.709$ ,  $C = 0.947$  из (8), (9) находим  $\text{Re } p_3^{(0)} = 1.36$ ,  $\text{Im } p_3^{(0)} = -0.31$ . Кривыми 3 и 4 представлены зависимости, рассчитанные на основании выражений (2), (3), позволяющие судить о границах применимости приближений (5), (8)–(10). Для нахождения абсолютного значения константы нелинейности  $\varepsilon_1$  мы определили толщину ( $d = 3.50$  мкм) и показатель преломления ( $n_w = 2.352$ ) пленки  $\text{As}_2\text{S}_3$  и установили, что выполненные измерения соответствуют возбуждению девятнадцатой моды. После вычисления интегралов в (10) мы получили  $\text{Re } \varepsilon_1 = 4.85 \cdot 10^{-9} (\text{м/в})^2$ ,  $\text{Im } \varepsilon_1 = -1.11 \cdot 10^{-9} (\text{м/в})^2$ .

Для проверки адекватности развитого подхода мы сопоставили теоретические и экспериментальные данные для функций  $|b(x)|^2$ , соответствующих различным  $S$  (рис. 1). Расчеты выполнены на основании выражений (2), (3) при найденных значениях  $p_1$ ,  $p_2$ ,  $p_3^{(0)}$ . Экспериментальные дан-

ные, представленные дискретными точками, находятся в удовлетворительном согласии с теоретическими (сплошные кривые).

Найденной величине  $\text{Re}(\varepsilon_1)$  соответствует  $n_2 = \omega \mu_0 \text{Re}(\varepsilon_1) (n_w^2 k_0)^{-1} = 3.31 \cdot 10^{-3} \text{ см}^2/\text{Вт}$ . Это значение, при учете корреляции между  $n_2$  и  $\text{Im} h$ , на два порядка превосходит данные [4]. Такое расхождение можно объяснить различием в использованных диапазонах плотности мощности  $S_z$ : в нашем случае усредненная по сечению волновода величина  $S_z$ , оцененная с использованием (3), (4), находилась в диапазоне  $0.04 < S_z < 0.2 \text{ Вт}/\text{см}^2$  при  $S_z \sim 10^2 \text{ Вт}/\text{см}^2$  в [4]. Расширив диапазон  $S/S_0$ , мы исследовали зависимость  $\beta_0(S/S_0)$ , обеспечивая доворотом оси пучка выполнение равенства  $\kappa_1 = 0$ . Эта зависимость (рис. 2) имеет резкий излом при  $S \sim 6S_0$  ( $S_z \sim 0.25 \text{ Вт}/\text{см}^2$ ), означающий, строго говоря, неприменимость кубичной модели при  $S/S_0 > 6$ . Вместе с тем, интерполируя зависимость  $\beta_0(SS_0^{-1})$  при  $SS_0^{-1} > 6$  прямой, мы получили оценку  $n_2 \sim 5 \cdot 10^{-5} \text{ см}^2/\text{Вт}$ , близкую к данным [4]. Отмеченные особенности указывают на существование нескольких механизмов нелинейности в  $\text{As}_2\text{S}_3$ , имеющих различные энергии насыщения.

### Список литературы

- [1] Редько В.П., Романенко А.А., Сотский А.Б., Хомченко А.В. // Письма в ЖТФ. 1992. Т. 18. В. 3. С. 14–18.
- [2] Малов В.В., Туровцев А.В., Йогансен Л.В. // ЖТФ. 1986. Т. 56. В. 8. С. 1500–1507.
- [3] Liao C., Stegeman G.I., Seaton C.T., Shoemaker R.L., Valera I.D., Winful H.G. // J. Opt. Soc. Am. A. 1985. V. 2. N 4. P. 590–594.
- [4] Виноградов А.Ю., Сморгонская Э.А., Шифрин Е.И. // Письма в ЖТФ. 1988. Т. 14. В. 7. С. 642–645.

Поступило в Редакцию  
18 апреля 1994 г.